

## 나노결정질 $\text{Si}_{(1-x)}\text{C}_x$ 박막의 성장

이상욱, 최영순, 이호승, 안성수, 문종엽, 김희연, 신동혁  
동국대학교 물리학과

$\text{SiC}$ 는 전자 이동속도가 높고, 항복전압이 높으며, 화학적 안정성이 뛰어난 넓은 에너지 금지대역 ( $2.2\text{eV} \sim 2.9\text{eV}$ )의 반도체 물질이어서 고온, 고전력 소자로의 응용가능성이 크다. 그러나 단결정 성장에 필요한 온도가 너무 높다는 점과 대면적  $\text{SiC}$ 기판의 부재, 기판의 생산원가가 비싸다는 점은  $\text{SiC}$ 를 이용한 소자 연구에 커다란 문제로 남아있다. 한편, 비정질 또는 다결정질 박막은 상대적으로 낮은 온도에서 유리 등의 기판 위에 생성이 가능하며, 특히 물질의 조성비를 변화시켜 물성을 연속적으로 조절할 수 있는 장점이 있다. PECVD 방식으로  $\text{Si}(100)$ 과 Corning-7059 기판을 사용하고, 온도  $300^\circ\text{C}$ , RF-power  $50\text{W}$ ,  $0.4\text{Torr}$ 의 압력하에서 반응가스비  $\text{CH}_4/\text{SiH}_4=y$ 를 0에서 1.5까지 변화시켜  $\text{Si}_{(1-x)}\text{C}_x$  박막을 성장하였을 때  $E_{\text{opt}}$ 이  $1.4\text{eV}$ 에서  $2.7\text{eV}$ 로 변화됨을 관찰하였다(Fig.1) 그러나 일반적으로 비정질 박막은 결정질의 박막보다 전기적 성질이 뒤떨어지는 단점이 있다. 가스흐름비  $y$ 를 1로 고정하고, 온도를  $300^\circ\text{C}$ 부터  $600^\circ\text{C}$ 로 변화시키면서 성장한 박막은 온도가 증가할수록 박막내  $\text{Si-H}$ ,  $\text{C-H}$  결합이 점차 감소되며,  $E_{\text{opt}}$ 는  $2.7\text{eV}$ 에서  $2.2\text{eV}$ 로 감소하였다.  $600^\circ\text{C}$ 의 온도에서는 비정질의 실리콘 카바이드가 형성되었다. 온도를  $600^\circ\text{C}$ 로 고정하고, RF-power를  $50\text{W}$ 에서  $150\text{W}$ 로 증가시키면서 성장한 박막의 성장률은  $131\text{nm/h}$ 에서  $90\text{nm/h}$ 로 감소하였으며,  $E_{\text{opt}}$ 은  $2.2\text{eV}$ 에서  $2.7\text{eV}$ 로 증가하였다. IR 흡수 스펙트럼(Fig.2)으로부터  $\text{Si-C}$  stretching band ( $800\text{cm}^{-1}$ )의 반폭치가  $200\text{cm}^{-1}$ 에서  $80\text{cm}^{-1}$ 로 좁아졌으며  $\text{Si-H}_n$  stretching( $2100\text{cm}^{-1}$ ),  $\text{C-H}_n$  stretching ( $2900\text{cm}^{-1}$ )band가 관측되었다. 플라즈마의 에너지를 높일수록 박막내 탄소원자가 증가하여  $E_{\text{opt}}$ 이 증가된 것으로 추정할 수 있으며, IR 흡수선의 반폭치가 줄어든 것으로써 구조의 변화가 일어나 나노결정질의 실리콘 카바이드가 형성된 것으로 판단된다.

가스의 흐름비 조절로 박막의 성질을 조절할 수 있을 뿐 아니라 플라즈마의 에너지를 조절하여  $E_{\text{opt}}$ 를 조절할 수 있었으며, 박막의 미세결정성으로 전기적인 특성의 향상을 기대할 수 있게 되었다.

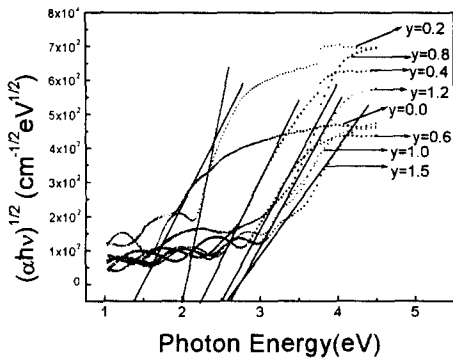


Fig. 1. Tauc's plots for  $\text{Si}_{(1-x)}\text{C}_x$  thin films grown with different gas flow ratios. (at  $300^\circ\text{C}$ ,  $0.4\text{Torr}$ ,  $50\text{W}$ )

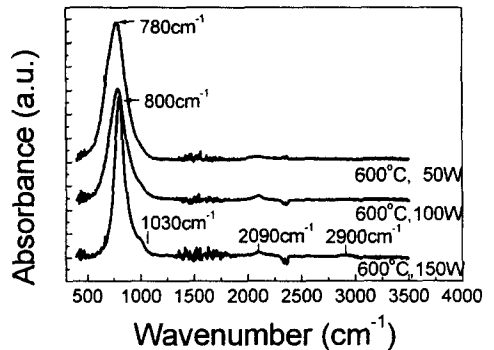


Fig. 2. IR absorption spectra of  $\text{Si}_{(1-x)}\text{C}_x$  thin films grown with different rf-powers. (at  $600^\circ\text{C}$ ,  $0.4\text{Torr}$ ,  $y=1.0$ )